

# Экспериментальное исследование нецепного HF-лазера на тяжелых углеводородах

В.Д.Булаев\*, В.В.Куликов\*, В.Н.Петин\*, В.И.Югов\*\*

*Экспериментально исследованы выходные характеристики нецепного электроразрядного HF-лазера замкнутого цикла в импульсном и импульсно-периодическом режимах накачки при скоростях нарастания разрядного тока  $\sim 10^{10}$  А/с. С использованием анизотропно-резистивного катода на смесях тяжелых углеводородов с элегазом ( $SF_6 - (C_3H_8 + C_4H_{10})$ ) достигнут удельный энерговклад 200 Дж/л. Применение неустойчивого телескопического резонатора обеспечивает расходимость излучения, близкую к дифракционному пределу.*

**Ключевые слова:** нецепной HF-лазер, тяжелые углеводороды, анизотропно-резистивный электрод.

## 1. Введение

Мощные импульсно-периодические газовые лазеры, особенно с замкнутым циклом прокачки лазерной смеси, могут найти применение в ряде задач, в которых требуется не только предельно высокая энергетическая сила излучения, но и длительная непрерывная работа лазера. В работе [1] в импульсно-периодической электроионизационной CO<sub>2</sub>-системе задающий генератор – усилитель была получена энергетическая сила излучения порядка нескольких тераватт на стерадиан. Дальнейшие успехи в этом направлении могут быть достигнуты при применении более коротковолновых нецепных электрохимических HF(DF)-лазеров.

До недавнего времени достижение больших энергий (мощностей) излучения нецепных HF(DF)-лазеров сдерживалось контрагированием объемного разряда. В работах [2, 3] эти трудности были преодолены за счет применения лазерных смесей, содержащих углеводороды, которые служили одновременно донорами H(D) и легко-ионизуемыми присадками. Этому также способствовало использование схемы генератора импульсного напряжения (ГИН), обеспечивающей включение накачки после предварительного заполнения разрядного объема электронами проводимости. При этом скорость нарастания разрядного тока  $dI/dt$  составляла  $(2-3) \cdot 10^{11}$  А/с.

Представляет несомненный интерес исследование нецепных HF(DF)-лазеров при накачках с  $dI/dt \sim 10^{10}$  А/с, что позволит в случае успеха применять для создания этих лазеров хорошо отработанные системы накачки TEA CO<sub>2</sub>-лазеров, функционирующие в диапазоне длительностей импульсов накачки 0.2–1.0 мкс. Цель настоящей работы – нахождение оптимальных условий для достижения высоких выходных характеристик нецепного HF-лазера на тяжелых углеводородах.

\*Государственный научно-исследовательский испытательный лазерный центр РФ «Радуга», Россия, 600030 Радужный Владимирской обл.

\*\*Владимирский государственный университет, Россия, 600035 Владимир, ул. Горького, 87

Поступила в редакцию 10 сентября 2000 г.

## 2. Экспериментальная установка

Экспериментальные исследования проводились на установке, описанной в [4]. Схема эксперимента приведена на рис.1. Основой конструкции лазера служит аэродинамическая труба с замкнутым циклом прокачки лазерной смеси, в рабочей части которой размещена лазерная камера 1. Разрядный объем сформирован между электродами 2 (межэлектродное расстояние 45 мм, размер электрода 90 × 900 мм). В отличие от [4], начальная концентрация электронов в разрядном объеме создавалась за счет коронирования с поверхности электродов при включении напряжения накачки.

ГИН 3 построен по одноступенчатой схеме Фитча, его коммутатором служит многозazorный импульсный разрядник 4. При использовании импульсного зарядного устройства 5 такая схема накачки работает в импульсно-периодическом режиме на частоте до 700 Гц. Окна 6 из NaCl для ввода-вывода излучения установлены под углом Брюстера к оси лазерной камеры.

В экспериментах применялись два типа резонаторов: плоский, состоящий из глухого медного зеркала 7 и пластины 8 из BaF<sub>2</sub> (ZnSe), или неустойчивый телескопиче-

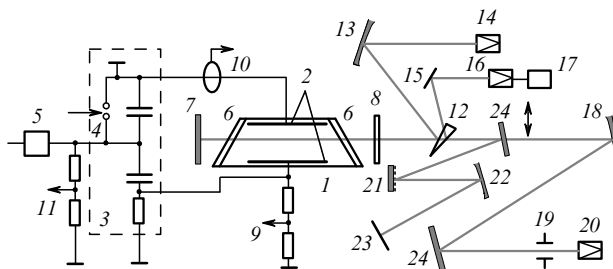


Рис.1. Схема экспериментальной установки:  
1 – лазерная камера; 2 – электроды; 3 – ГИН; 4 – многозazorный разрядник; 5 – импульсное зарядное устройство; 6 – окно под углом Брюстера; 7, 8 – зеркала резонатора; 9, 11 – измерительные делители напряжения; 10 – пояс Роговского; 12 – клин из NaCl; 13, 18, 22 – фокусирующие зеркала; 14, 20 – калориметры; 15 – диффузный экран; 16 – пироприемник; 17 – осциллограф; 19 – диафрагма; 21 – дифракционная решетка; 23 – термобумага; 24 – плоские зеркала.

ский резонатор (НТР) с увеличением  $M = 2$  и диаметром выходной апертуры  $d = 40$  мм. Средняя скорость потока лазерной смеси в импульсно-периодическом режиме поддерживалась равной 20 м/с.

В экспериментах проводились измерения разрядного тока и напряжения на электродах лазерной камеры, а также зарядного напряжения ГИНа. Излучение лазера при отражении от передней грани клина 12 направлялось на схему измерения энергии излучения, состоявшую из фокусирующего зеркала 13 и калориметра 14 типа ИМО-2Н. Излучение, отраженное от задней грани клина 12, направлялось в схему измерения формы импульса излучения, образованную диффузным экраном 15 и подключенным к осциллографу 17 пироприемником 16.

Для исключения помех от ГИНа пироприемник и осциллограф помещались в специальную экранированную камеру. Излучение, прошедшее клин 12, направлялось в схему измерения расходимости излучения, состоявшую из фокусирующего зеркала 18 (фокусное расстояние 6 м), сменных калиброванных диафрагм 19, установленных в фокальной плоскости зеркала 18, и калориметра 20 типа ТПИ-2М, который размещался за сменными диафрагмами 19. Для регистрации спектра излучения HF-лазера вместо зеркала 18 устанавливалась зеркальная дифракционная решетка 21 с периодом штрихов 10 мкм; отраженное от нее излучение с помощью фокусирующего зеркала 22 направлялось на светочувствительную бумагу 23.

### 3. Результаты экспериментов и их обсуждение

Исследования проводились в импульсном и импульсно-периодическом режимах при рабочем давлении лазерной смеси  $p = 75$  Тор. Были исследованы лазерные смеси элегаза с техническим пропан-бутаном  $SF_6 - (C_3H_8 + C_4H_{10})$  в сравнении со смесью  $SF_6 - H_2$ . Для данной установки оптимальным по энерговкладу оказалось соотношение давлений компонентов 30 : 1.

Вначале в лазерной камере были установлены алюминиевые электроды и плоский резонатор. В смесях  $SF_6 - H_2$  генерации получить не удалось во всех режимах из-за развивающегося электрического пробоя. На смеси  $SF_6 - (C_3H_8 + C_4H_{10})$  объемный разряд горел в очень узком диапазоне зарядного напряжения ГИНа, не превышающем 1 кВ. При этом удельный энергосъем составил всего 0.7 Дж/л, а визуально было установлено, что свечение объемного разряда крайне неоднородно. Наиболее яркое свечение наблюдалось на краях электродов, с которых в большинстве случаев и развивался электрический пробой.

После замены металлического катода анизотропно-резистивным электродом (АРЭ) картина и параметры разряда кардинально изменились. Удельный энергосъем на смеси  $SF_6 - (C_3H_8 + C_4H_{10})$  возрос в 5 раз, свечение объемного разряда стало однородным. В предпробойной фазе разряда из анода наблюдалось прорастание токовых нитей, с одной из которых и развивался пробой. На смеси  $SF_6 - H_2$  удельный энергосъем не превышал 1 Дж/л. При установке НТР с  $M = 2$  и диаметром выходной апертуры 40 мм удельный энергосъем возрос примерно на 25 % по сравнению с плоским резонатором такого же объема. Этот факт объясняется тем, что НТР с  $M = 2$  близок к оптимальному резонатору для данного лазера. Кроме того, при замене в плоском резонаторе

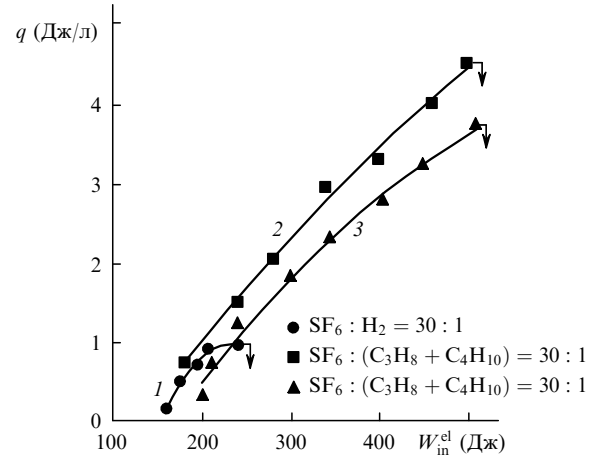


Рис.2. Зависимости удельной энергии излучения  $q$  от энерговклада  $W_{in}^{el}$  для смеси  $SF_6 - H_2$  с плоским резонатором с апертурой 45 × 90 мм (1), смеси  $SF_6 - (C_3H_8 + C_4H_{10})$  с НТР с  $M = 2$ ,  $d = 40$  мм (2) и смеси  $SF_6 - (C_3H_8 + C_4H_{10})$  с плоским резонатором с апертурой 45 × 90 мм (3); стрелками показан порог электрического пробоя.

выводного зеркала из  $BaF_2$  зеркалом из  $ZnSe$  удельные параметры излучения практически не изменились.

На рис.2 приведены результаты измерений удельной энергии излучения в зависимости от энерговклада, который принимался равным энергии, запасенной в ГИНе. Измерения параметров разряда и вычисление его энергии по формуле

$$W^{el} = \int_0^\tau U(t)I(t)dt$$

(где  $\tau$  – длительность импульса накачки,  $U(t)$  и  $I(t)$  – текущие напряжение и ток разряда) позволили установить, что в разрядный объем вкладывалось не менее 65 % энергии, запасенной в ГИНе. Квазистационарная фаза разряда характеризуется отношением  $E/p \sim 80 - 120$  В × (см·Тор)<sup>-1</sup>.

На рис.3 приведены характерные осциллограммы импульсов напряжения и тока разряда, зарегистрированные

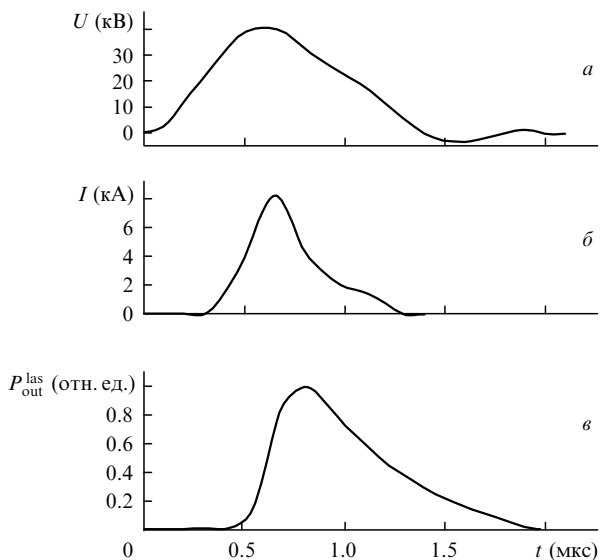


Рис.3. Осциллограммы импульсов напряжения на разрядном промежутке (a), тока разряда (b) и относительной мощности лазерного излучения (c).

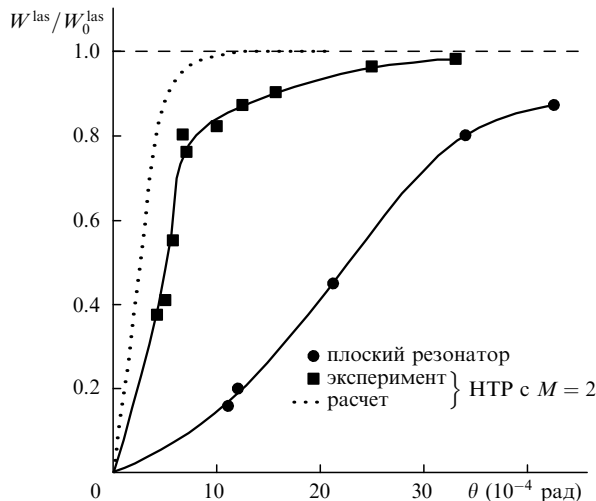


Рис.4. Нормированное энергетическое распределение излучения в зависимости от угла, охватываемого апертурной диафрагмой, при диаметре выходной апертуры 40 мм.

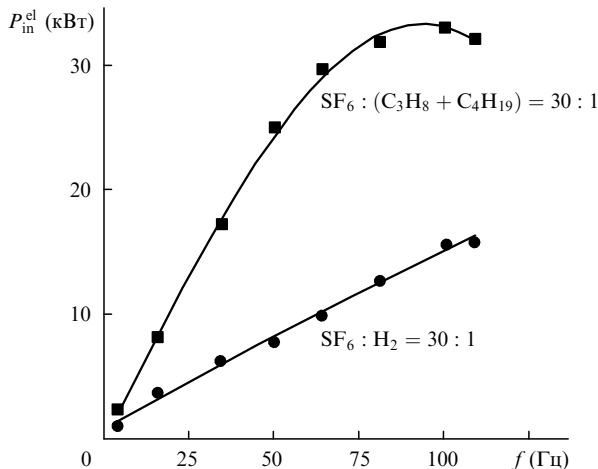


Рис.5. Зависимости вкладываемой мощности  $P_{\text{in}}^{\text{el}}$  от частоты следования импульсов  $f$  для смесей  $SF_6 - (C_3H_8 + C_4H_{10})$  и  $SF_6 - H_2$ .

на электродах лазерной камеры, а также осциллограмма относительной мощности импульса лазерного излучения.

Эффективность АРЭ заключается в том, что он позволяет компенсировать отрицательное сопротивление разряда  $dU/dI$  в прикатодной области последовательно подключенным анизотропно-резистивным участком катода. При этом сопротивление части катода  $R_c = rI/s$  ( $r$ ,  $I$ ,  $s$  – удельное сопротивление, длина и площадь части катода соответственно) должно превышать  $dU/dI$ . В нашем случае  $r = 45$  Ом/см.

Сравнительные измерения расходимости излучения выполнялись методом калиброванных диафрагм [1] для двух схем резонатора (плоского и НТР с  $M = 2$ ) при одинаковых диаметрах выходных апертур, равных 40 мм. Результаты измерения расходимости приведены на рис.4.

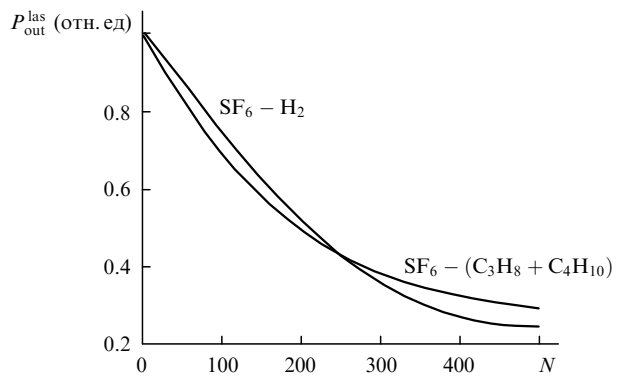


Рис.6. Зависимости мощности излучения HF-лазера от числа импульсов для смесей  $SF_6 - (C_3H_8 + C_4H_{10})$  и  $SF_6 - H_2$ .

Для НТР расходимость  $\theta$  составила  $1.7\theta_{\text{dif}}$  и не зависела от энерговклада во всем диапазоне измерений. Незначительное отличие от дифракционного угла  $\theta_{\text{dif}}$  объясняется неидеальностью используемых оптических элементов и неточностью юстировки резонатора. В случае плоского резонатора получена характерная для этого типа резонатора расходимость  $\sim 10\theta_{\text{dif}}$ .

На рис.5 приведены результаты исследований HF-лазера в импульсно-периодическом режиме. Максимум вкладываемой мощности достигался на частоте 90–100 Гц. Заметим, что работа HF-лазера в этом режиме подобна работе хорошо изученного TEA CO<sub>2</sub>-лазера.

Исследования в режиме длительной работы лазера при разных составах смесей показали (рис.6), что спад мощности излучения происходит, в основном, за счет релаксации возбужденных молекул HF, т. к. вкладываемая в разряд мощность остается постоянной вплоть до полного исчезновения генерации. Применение систем регенерации отработанных лазерных смесей, как это сделано, например, в [5], позволит стабилизировать мощность излучения лазера на требуемом уровне.

#### 4. Заключение

Таким образом, экспериментально подтверждена возможность достижения высоких выходных характеристик нецепенных HF(DF)-лазеров. Дальнейшее повышение выходной мощности HF(DF)-лазеров возможно благодаря применению анизотропно-резистивного анода, а также увеличению разрядного объема до десятков и сотен литров.

1. Бабаев И.К., Бардаковский С.В., Блинов Н.А. и др. *Квантовая электроника*, 18, 6 (1991).
2. Аполлонов В.В., Казанцев С.Ю., Орешкин В.Ф., Фирсов К.Н. *Квантовая электроника*, 24, 213 (1997).
3. Аполлонов В.В., Казанцев С.Ю., Орешкин В.Ф., Фирсов К.Н. *Квантовая электроника*, 25, 123 (1998).
4. Булаев В.Д., Видавский А.Э., Ковалев В.И., Куликов В.В. *Квантовая электроника*, 25, 243 (1998).
5. Великанов С.Д. и др. *Квантовая электроника*, 25, 295 (1997).